

# Efeitos de Distorção de Lentes Parametrizáveis a 1000+ FPS

Lucas Oliveira Maggi<sup>2</sup>, João Marcelo Xavier Natário Teixeira<sup>1</sup>, Lucas Silva Figueiredo<sup>2</sup>, Veronica Teichrieb<sup>2</sup>

<sup>1</sup>DEINFO - Universidade Federal Rural de Pernambuco (UFRPE)

<sup>2</sup>Centro de Informática – Universidade Federal de Pernambuco (UFPE)

Cidade Universitária - 50740-560 – Recife – PE – Brazil

{lom,jmxnt,lsf,vt}@cin.ufpe.br

**Abstract.** *This paper describes the implementation of a parameterizable lens distortion effect technique running at 1000+ FPS on CPU. Different image resolutions were used to validate the implemented technique and the visual result obtained showed to be very satisfactory.*

**Resumo.** *Este artigo descreve a implementação de uma técnica de efeito de distorção de lentes parametrizáveis com desempenho superior a 1000 FPS em CPU. Diferentes resoluções de imagem foram utilizadas na validação da técnica implementada e o resultado visual obtido mostrou-se bastante satisfatório.*

## 1. Introdução

Há quase quatro décadas existem estudos voltados à distorção de lentes [Brown 1966]. Nas últimas duas décadas, merecem destaque trabalhos na área de distorção de lentes [Tsai 1987], em que frequentemente se utilizam distorções inversas de calibração de câmera [Brown 1971, Weng et al. 1992, Shar et Aggarwal 1996, Zhang 2000, Fitzgibbon 2001, Thirthala et Pollefeys 2005, Claus et Fitzgibbon 2005, De Villiers et al. 2008]. Tais trabalhos são de extrema importância para realidade aumentada, com a correta inserção dos elementos em cena, e visão computacional [Tsai 1987, Weng et al 1992], para a identificação, rastreamento ou métricas mais precisas. O trabalho descrito neste artigo é voltado para o uso em efeitos de distorção de imagem, com distorções parametrizáveis de alto desempenho em CPU.

Este artigo está organizado da seguinte maneira: a seção 2 lista alguns trabalhos relacionados a implementações de algoritmos de distorção de lentes assim como aplicações relacionadas; a seção 3 descreve conceitos básicos necessários ao entendimento do trabalho apresentado; a seção 4 detalha o algoritmo escolhido e como o mesmo foi implementado de forma otimizada em CPU; a seção 5 ilustra os resultados obtidos com a técnica implementada, analisando o desempenho conseguido para diferentes configurações de resolução e número de threads; por fim, a seção 6 lista

conclusões acerca do projeto e indica possíveis caminhos a serem traçados como trabalhos futuros.

## 2. Trabalhos relacionados

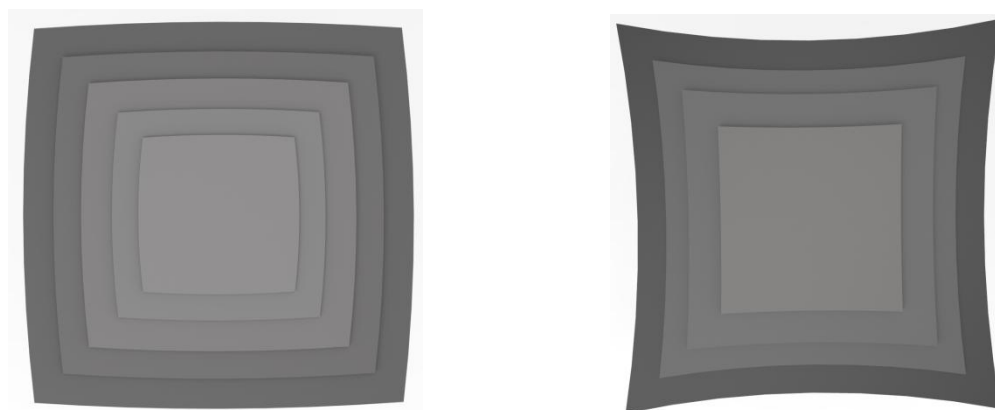
Todos os trabalhos relacionados são voltados para distorção de lente e/ou calibração de câmera, e podem ser categorizados quanto à finalidade:

- Descrição de distorção paramétrica [Brown. 1966],
- Calibração [Brown 1971, Weng et al. 1992, Shar et Aggarwal 1996, Zhang 2000, Fitzgibbon 2001, Thirthala et Pollefeys 2005, Claus et Fitzgibbon 2005, De Villiers et al. 2008],
- Visão [Tsai 1987, Weng et al. 1992, Gribbon, K. T. et al. 2003].

Em [Tsai 1987, Weng et al. 1992, Gribbon et al. 2003, Thirthala et Pollefeys 2005] é considerada a distorção radial de lente para correção da imagem. Já em [Claus et Fitzgibbon 2005], a distorção radial é utilizada para fins de comparação com outras distorções.

## 3. Conceitos básicos

Distorções de lente são causadas pelo formato da lente utilizada, e pelo efeito de refração da luz na mesma. Tais distorções podem ser descritas e parametrizadas matematicamente. Distorções radiais são distorções que apresentam uma variação da distorção de acordo com a distância radial em relação a algum centro. São distorções radiais: Barrel Distortion e Pincushion Distortion, ambas ilustradas na Figura 1 [Gribbon et al 2003].



**Figura 1. Efeitos de distorção de lentes: Distorção de Barril (esquerda) e Distorção de Almofada (direita).**

#### 4. O algoritmo

O algoritmo proposto leva em consideração apenas a distorção radial, desconsiderando a distorção tangencial, utilizando as seguintes equações:

$$x_i := x \times (1 + k_1 \times r^2 + k_2 \times r^4 + k_3 \times r^6)$$

**Equação 1. Transformação não linear de Brown-Conrady em x.**

$$y_i := y \times (1 + k_1 \times r^2 + k_2 \times r^4 + k_3 \times r^6)$$

**Equação 2. Transformação não linear de Brown-Conrady em y.**

$x$  e  $y$  representam as coordenadas na imagem original, e  $r$  é o valor do raio calculado.  $r^2$  é dado em função da seguinte equação:

$$r^2 := x^2 + y^2$$

**Equação 3. Equação da circunferência no plano.**

Uma vez que o valor do raio não é utilizado nas equações listadas anteriormente, apenas é necessário calcular os valores de  $r^2$ ,  $r^4$  e  $r^6$ , evitando assim a realização de operações de raiz quadrada, o que melhora o desempenho e a precisão do algoritmo.

Com base nas equações iniciais, é necessária a definição de três coeficientes ( $k_1, k_2, k_3$ ) para o cálculo da distorção radial. Cada um deles atua sobre uma parte específica do polinômio. Sendo assim, a entrada da solução é dada pela imagem juntamente com os parâmetros  $k$  definidos.

As coordenadas  $x$  e  $y$  da imagem original devem ser convertidas para coordenadas canônicas, no intervalo  $[-1,1]$ , considerando que a origem está localizada no centro da imagem, com o valor de  $y$  invertido (diminui de cima para baixo, contrariamente ao que acontece na biblioteca OpenCV). Para isso, são usadas as seguintes equações:

$$x := \left( \frac{j}{larguraDaImagem} \right) \times 2 - 1$$

**Equação 4. Conversão de coordenadas em x.**

$$y := -\left( \left( \frac{i}{larguraDaImagem} \right) \times 2 - 1 \right)$$

**Equação 5. Conversão de coordenadas em y.**

Nas equações anteriores,  $i$  e  $j$  indicam as coordenadas dos pixels nas imagens representadas pela biblioteca OpenCV.

Como o mapeamento é realizado do espaço de imagem no OpenCV para o espaço de imagem no OpenCV, deve-se realizar agora o processo inverso, para que se tenha como resultado as coordenadas finais  $x$  e  $y$  já transformadas. Para isso, são usadas as seguintes equações:

$$xi_2 := \frac{x_i + 1}{2}$$

**Equação 6. Reversão de coordenadas em  $x$ .**

$$yi_2 := 1 - \left(\frac{y_i + 1}{2}\right)$$

**Equação 7. Reversão de coordenadas em  $y$ .**

$$x_f := xi_2 \times cols$$

**Equação 8. Rescalonando para a imagem final em  $x$ .**

$$y_f := yi_2 \times rows$$

**Equação 9. Rescalonando para a imagem final em  $y$ .**

O primeiro par de equações é responsável por converter as coordenadas de volta, considerando a origem deslocada e a reflexão no eixo  $y$ . O segundo par de equações aplica um fator de escala nas coordenadas encontradas, proporcional aos valores de altura ( $rows$ ) e largura ( $cols$ ) da imagem resultante.

Caso as coordenadas finais encontradas estejam fora do intervalo de pixels da imagem, pode-se preencher aquele pixel com informação de uma cor estática. No nosso caso, foi escolhida a cor preta como cor de fundo.

#### **4.1. Implementação**

A solução desenvolvida foi implementada usando a linguagem de programação C++, incluindo a biblioteca padrão (STL) do C++11. Utilizou-se a biblioteca OpenCV para fins de carregamento das imagens/videos de entrada (arquivos ou webcam) e exibição do resultado em tempo real em janelas (resultado da distorção). Além disso, apenas a estrutura Mat foi utilizada, o que torna todo o código desenvolvido compatível com as versões 2.4 e 3 da biblioteca. A IDE de desenvolvimento utilizada foi o Microsoft Visual Studio 2015 Community. O desempenho da solução foi otimizado com paralelismo para um processador multicore através da biblioteca OpenMP em dois momentos: criação dos endereços de mapeamento da transformação e cópia dos valores da imagem original para a imagem transformada.

O trecho de código responsável por calcular o mapeamento entre imagem original e imagem distorcida, ou seja, os novos endereços para cada posição de pixel na imagem original é descrito na Figura 2:

```
void mapDistortion(Mat &img, uint *addresses) {
    #pragma omp parallel for num_threads(NUM_THREADS)
    for (int i = 0; i < img.rows; i++) {
        for (int j = 0; j < img.cols; j++) {
            float x, y;
            x = (j / (float)img.cols)*2.f - 1.f;
            y = -((i / (float)img.rows)*2.f - 1.f);
            float r2 = x*x + y*y;
            float k1 = valk1 / 100.f, k2 = valk2 / 100.f, k3 = valk3 / 100.f;

            float r4 = r2*r2, r6 = r4*r2;

            float xff = (x / (float)(1 + k1*r2 + k2*r4 + k3*r6) + 1.f) / 2.f;
            float yff = 1.f - ((y / (float)(1 + k1*r2 + k2*r4 + k3*r6)) + 1.f) / 2.f;

            int xf = xff*img.cols;
            int yf = yff*img.rows;

            if (xf < img.cols && xf > -1 && yf > -1 && yf < img.rows) {
                addresses[i*img.cols + j] = yf*img.cols + xf;
            } else {
                addresses[i*img.cols + j] = -1;
            }
        }
    }
}
```

**Figura 2. Código do cálculo de endereço.**

Na Figura 3 está presente o trecho de código responsável por realizar a cópia dos pixels da imagem original para a imagem distorcida, seguindo os endereços calculados previamente, é dado a seguir:

```

void applyDistortion(Mat &imgref, Mat &img) {
    uint size = img.cols * img.rows;
    bgrColor *data = (bgrColor*)img.data;
    bgrColor *org = (bgrColor*)imgref.data;
    bgrColor black;

    #pragma omp parallel for num_threads(NUM_THREADS)
    for (int i = 0; i < size; i++) {
        if (addresses[i] == -1) {
            data[i] = black;
        }
        else {
            data[i] = org[addresses[i]];
        }
    }
}

```

**Figura 3. Código de cópia/aplicação da distorção.**

## 5. Resultados

Apresentamos nesta seção os resultados obtidos, em imagens originais e distorcidas, e gráficos comparativos de desempenho. Utilizamos duas fontes diferentes de imagem, uma delas foi uma webcam integrada ao computador utilizado, e outra foi de vídeo, e três resoluções distintas. Dados de desempenho, além de sua análise, são detalhados.

### 5.1 Cenários de validação

Foram selecionadas três resoluções para realização dos testes de efeito visual e de desempenho, sendo estas: 480p, 720p e 1080p. O uso de tais resoluções se justifica pelo fato das mesmas serem comumente utilizados tanto na indústria cinematográfica/televisiva, quanto em computadores pessoais.

Os vídeos utilizados como entrada para o algoritmo foram:

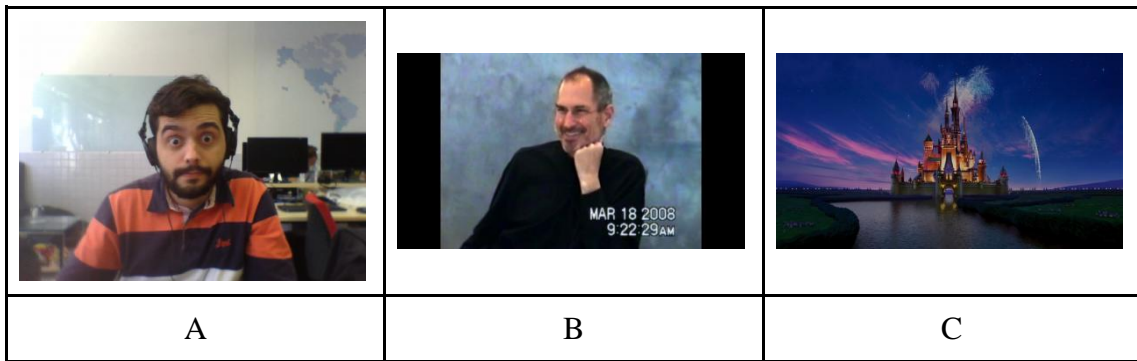
A: Webcam, resolução 640x480 (480p, VGA)

B: Steve Jobs - The Man In The Machine (2015), resolução 1280x720(720p, HD)

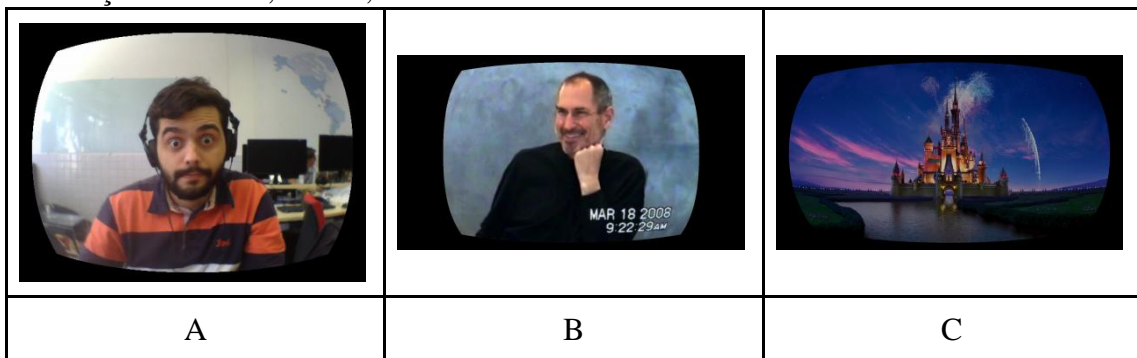
C: Inside Out (2015), resolução 1920x1080(1080p, Full HD)

A seguir estão as configurações utilizadas dos parâmetros  $k_1$ ,  $k_2$ ,  $k_3$ , juntamente com os resultados obtidos.

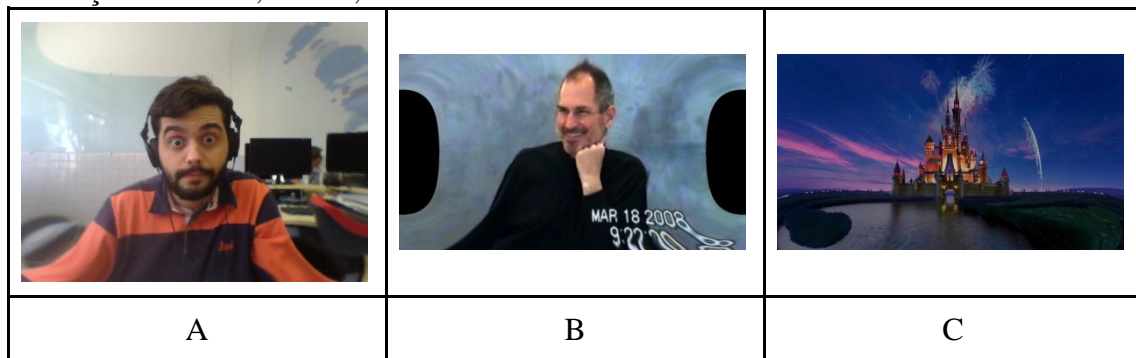
Originais:  $k_1 = 0$ ,  $k_2 = 0$ ,  $k_3 = 0$ . (Sem distorção)



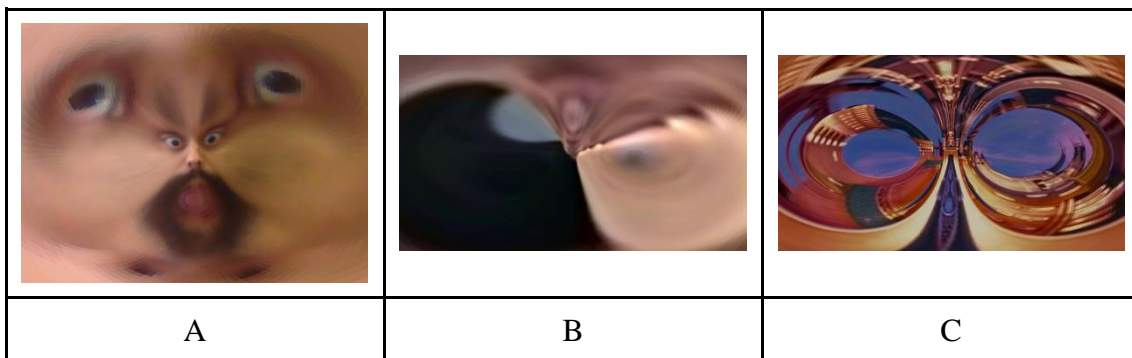
Distorção 1:  $k_1 = 0, k_2 = 0, k_3 = -12.$



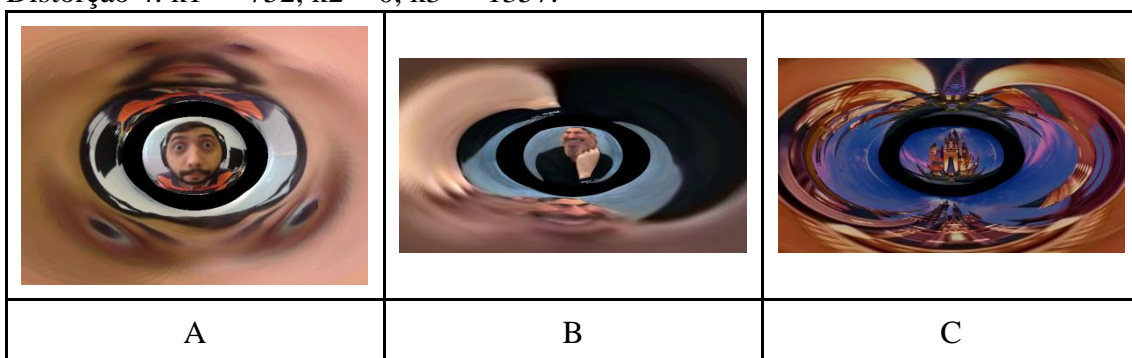
Distorção 2:  $k_1 = 0, k_2 = 0, k_3 = 12.$



Distorção 3:  $k_1 = 752, k_2 = 0, k_3 = 568.$



Distorção 4:  $k_1 = -752$ ,  $k_2 = 0$ ,  $k_3 = -1357$ .



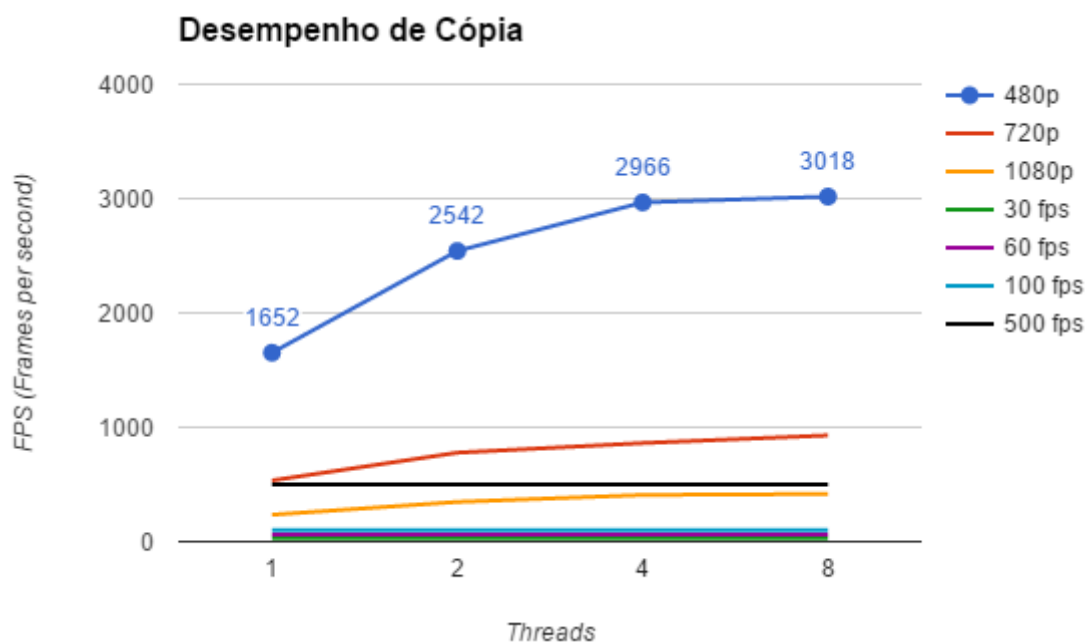
## 5.2 Análise de desempenho

Para validar o desempenho observado, foram realizados vários conjuntos de testes de performance em um notebook. Temos como método para medição o uso de média aritmética simples de 1000 (mil) amostras de desempenho, ou seja, afere-se o tempo gasto no cálculo de cada etapa, Cálculo de endereços e Cópia, e para cada etapa é calculada uma média dessas 1000 (mil) amostras. Executamos o procedimento descrito anteriormente 10 (dez) vezes para realizar uma média da replicação do procedimento e utilizar como valor final para análise de desempenho, sendo até aqui o conjunto de teste. Foi realizado um conjunto de teste para diferentes quantidades de threads, sendo as mais significativas nas quantidades 1, 2, 4 e 8 threads (acima de 8 threads houve queda de desempenho, possivelmente devido ao processador utilizado na realização dos testes).

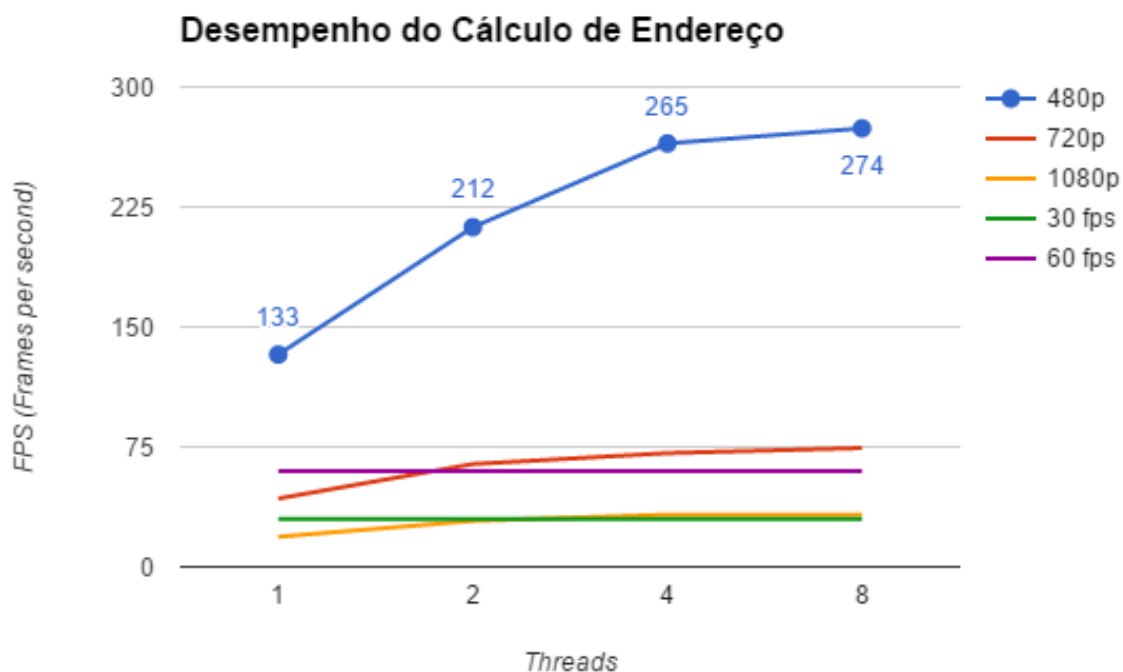
As especificações do notebook utilizado nos testes são: ASUS S46C, Intel(R) Core(™) i7-3537U @ 2.00 GHz (2,5GHz máximo), 2 núcleos físicos, 4 processadores lógicos, 4MB cache L3, 512KB cache L2, 128KB cache L1, 8GB RAM(2x4GB) DDR3. Sistema operacional: Microsoft Windows 8.1 Single Language. Prioridade do processo: Normal.

Constatou-se que o desempenho, medido em quadros por segundo, variava de acordo com a quantidade de threads e de pixels (resolução) da imagem. Observou-se também

que o comportamento do desempenho acompanhava o crescimento da quantidade de threads, no entanto com uma diferença de desempenho cada vez menor entre os números consecutivos, como pode ser visto a seguir nas Figuras 4 e 5.



**Figura 4. Comparação de desempenho de cópia.**



**Figura 5. Comparação de desempenho do cálculo de endereço.**

Temos que a limitação de FPS será dada pelo processo que for mais lento, ou seja, o que possui menor FPS. Sendo assim, para uma execução em tempo real com a distorção sendo modificada a cada quadro, o desempenho de todo o processo de distorção é limitado pelo cálculo do endereço (Figura 5). No caso de uma distorção ser aplicada e fixada ao longo da execução, o desempenho segue o desempenho de cópia (Figura 4). De acordo com os testes realizados conseguimos executar o cálculo de endereço com FPS acima de 30 com as resoluções A e B para todas as quantidades de threads utilizadas. Com a resolução C (1080p), a única a não apresentar esse comportamento, conseguimos executar o cálculo de endereço com FPS acima de 30 quando a quantidade de threads foi 4 e 8, havendo pouca diferença entre os dois.

## 6. Conclusão

Este artigo apresentou a possibilidade de realizar efeitos de distorções de lentes com três parâmetros em tempo real em formatos comuns de reprodução, mostrando o potencial para efeitos de pós-processamento da imagem, ou para correção de distorção da imagem em tempo real.

Como trabalhos futuros tem-se a implementação de distorção de múltiplos centros, neste trabalho foi utilizado para testes apenas o centro da imagem como centro de distorção de lente, a disponibilização de uma API pública com as técnicas implementadas e uma versão da distorção implementada em GPU ao invés de CPU, utilizando o poder de processamento paralelo massivo dessa plataforma.

## Referências

- YING Xiang-Hua e HU Zhan-Yi. (2003) "Fisheye Lense Distortion Correction Using Spherical Perspective Projection Constraint", Chinese Journal Of Computers.
- Juyang Weng, Paul Cohen, e Marc Herniou. (1992) "Camera Calibration with Distortion Models and Accuracy Evaluation", IEEE Transactions on Pattern Analysis and Machine Intelligence, Vol. 14, No. 10.
- Andrew W Fitzgibbon. (2001) "Simultaneous linear estimation of multiple view geometry and lens distortion", IEEE Computer Vision and Pattern Recognition 2001 (CVPR 2001).
- Shishir Shah, J. K. Aggarwal. (1996) "Intrinsic parameter calibration procedure for a (high-distortion) fish-eye lens camera with distortion model and accuracy estimation", Vol. 29, No. 11., Pages 1775-1788.
- G. P. Stein, (1997) "Lens Distortion Calibration Using Point Correspondences", IEEE, Computer Vision and Pattern Recognition 1997 (CVPR 1997).
- Roger Y. TSAI. (1987) "A Versatile Camera Calibration Technique for High-Accuracy 3D Machine Vision Metrology Using Off-the-shelf TV Cameras and Lenses", IEEE, Journal of Robotics and Automation, Vol. RA-3, No. 4.

- SriRam Thirthala e Marc PolleFeys. (2005) "The Radial Trifocal Tensor: A tool for calibrating the radial distortion of wide-angle cameras", IEEE, Computer Society Conference on Computer Vision and Pattern Recognition 2005 (CVPR 2005).
- David Claus e Andrew W. Fitzgibbon (2005) "A Rational Function Lens Distortion Model for General Cameras", IEEE, Computer Society Conference on Computer Vision and Pattern Recognition 2005 (CVPR 2005).
- Zhengyou Zhang. (2000) "A Flexible New Technique for Camera Calibration", IEEE, Transactions On Pattern Analysis and Machine Intelligence, Vol. 22, No. 11.
- Brown, D. C. (1966). "Decentering distortion of lenses". Photometric Engineering, 32(3), 444-462.
- Brown, D. C. (1971) "Close-range camera calibration". Photogrammetric Engineering, v. 37, n. 8, p. 855-866, 1971.
- De Villiers, J. P., Leuschner, F. W., & Geldenhuys, R. (2008, November). "Centi-pixel accurate real-time inverse distortion correction". Na International Symposium on Optomechatronic Technologies (pp. 726611-726611). International Society for Optics and Photonics.
- Gribbon, K. T., Johnston, C. T., & Bailey, D. G. (2003, November). A real-time FPGA implementation of a barrel distortion correction algorithm with bilinear interpolation. In Image and Vision Computing New Zealand (pp. 408-413).
- Ojanen, H. (2001). "Automatic correction of lens distortion by using digital image processing", 1999.